



衝突現象 数値シミュレーションの有用性・限界・ 歴史・他諸々

高田淑子
宮城教育大学
2/5/2014

黒澤さんからのメール

- ミッション2013
 - 衝突計算の有用性と限界
 - 計算者の心得、陥りやすい問題
 - 目的:コードをブラックボックス化しないで自分で走らせる
 - 過去のT. J. AHRENSとの経験など(注しかないので)
- ミッション2014
 - 衝突計算の歴史
 - 衝突計算を行う際の考え方
 - どこまで現象を再現しようと考えているのか
 - 20-30分程度

MENU

- 衝突流体計算の有用性
- 衝突計算の歴史
- HYDROCODEとは
- 衝突計算のシミュレーション技法: 物体の運動を再現する
 - 圧縮性流体の方程式
 - 数値計算手法
 - 物質のモデル化
- 衝突計算の進化
 - 複雑モデル
 - 3D
- 計算過程における留意点
- まとめ

衝突シミュレーションの有用性

- 実験では
 - 時間・空間・エネルギーの限界
 - 観測・調査では
 - 初期条件が不明
 - 複雑なプロセス
 - 少ないサンプル数
 - 実験・観測・調査で可能な範囲 → 計算コードの/による検証
 - 実験・観測・調査で不可能な範囲 → 計算コードによる予測
- 数値シミュレーションでは
- 天体・銀河スケールまで
 - 初期条件 → 結果の評価
 - 単純化・複合化・素過程の解明
 - 計算機能力に依存

衝撃波数値計算の歴史

- マンハッタン計画(WWⅡ) 原爆開発 パンチカードシステム
 - 1950～1960年代:軍事目的
 - 差分法:人口粘性
 - ローレンスリバモア研究所(LLNL)
 - ロスアラモス研究所(LANL)
 - 1970～1980年代:目的の多様化
 - 原子力分野・工学・構造物・天文分野
 - 1990年代～:機能特化・可視化
 - 流体・連続体・不連続体への対応
 - コンピュータグラフィクス
- 1952 IBM SYSTEM700 ~
1964 IBM SYSTEM/360
1976 CRAY1ベクトル型計算機
(H,F,N)
1989 GRAPE
1993 CRAYT3D 並列型スカラー計算機
2000～ グリッド コンピューティング

衝撃波数値計算の進化

- マンハッタン計画(WW II) 原爆開発
- 1950~1960年代: 軍事目的
 - 差分法: 人口粘性
 - ローレンスリバモア研究所(LLNL)
 - ロスアラモス研究所(LANL)
- 1970~1980年代: 目的の多様化
 - 原子力分野・工学・構造物・天文分野
- 1990年代~: 機能特化・可視化
 - 流体・連続体・不連続体への対応
 - コンピュータグラフィクス

衝突コードの発展

1次元

状態方程式



2次元

状態方程式高度化



構成則



3次元

破壊則

数値計算の進化とクレーター計算

圧縮段階

掘削段階

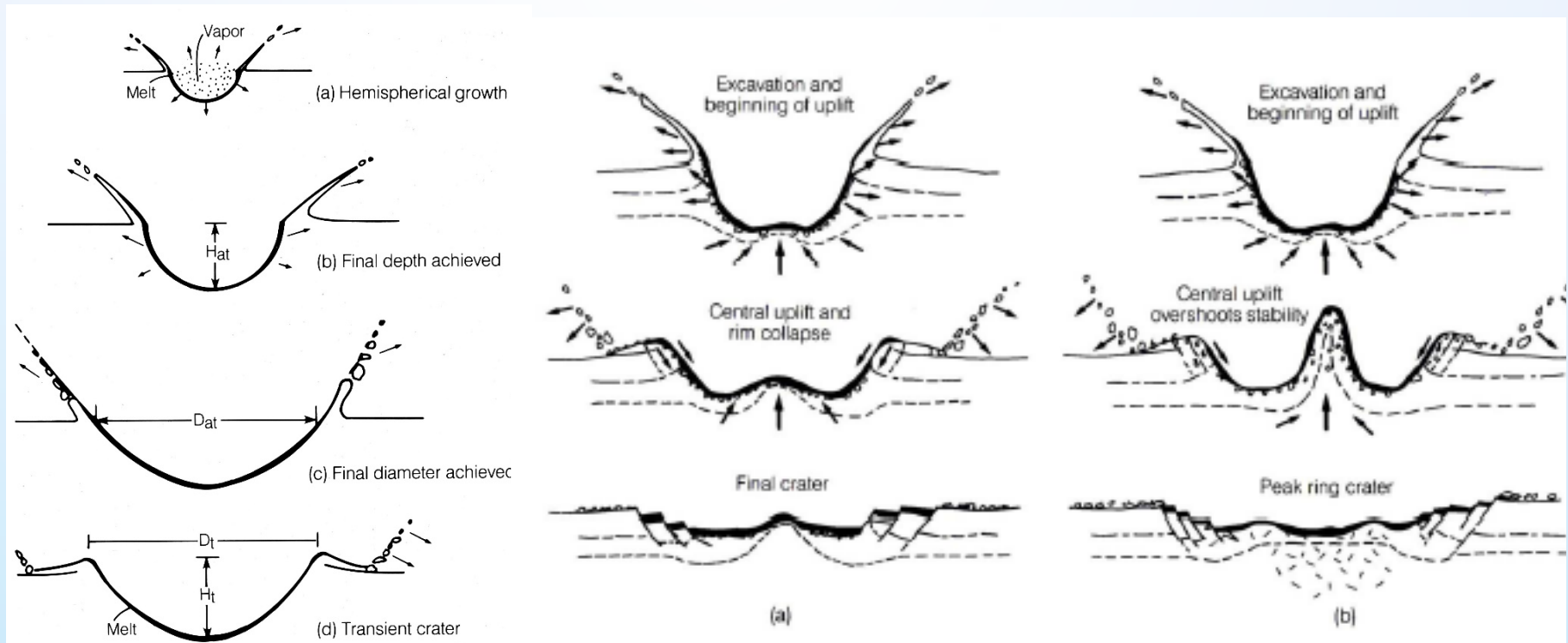
変形段階

緩和段階

—1980年代 状態方程式

1990年代—

構成則・破壊則



Simple crater
transient crater

Complex crater (Melosh, 1989より)

Hydrodynamics

数値シミュレーションコード

- 基本方程式

↓
連続量 → 離散化

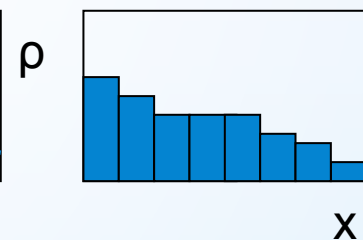
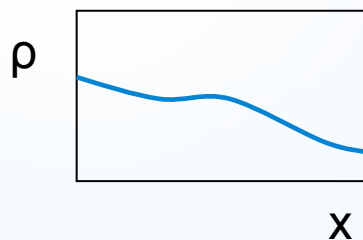
↓
時間発展

↓
物体の運動を模擬する

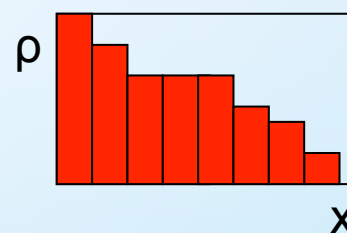
↓
シミュレーションコード

$$\frac{d\rho}{dt} = -\rho \nabla \cdot \vec{v}$$

$$\frac{\Delta \rho}{\Delta t} = -\rho \frac{v_i - v_{i-1}}{\Delta x}$$



$$\Delta t \rightarrow \Delta x_i$$



物体の運動を再現する: 保存則

- 保存則
- 質量保存

$$\frac{d\rho}{dt} = -\rho\nabla\cdot\vec{v}$$

- 運動量保存

$$\rho\frac{dv_\alpha}{dt} = -\frac{\partial\sigma_{\alpha\beta}}{\partial x_\beta}$$

- エネルギー保存

$$\rho\frac{du}{dt} = -\sigma\nabla\cdot\vec{v}$$

- + 力学項 (例: 重力・熱放射・・・/人工粘性項)

- 物質モデル

$$\rho - \vec{v} - \sigma : P - u$$

- (保存則 + 物質モデル) → 時間差分を解く

● 物体の運動を再現する：運動の表記法

● オイラー (EULER)法

- 格子は空間に固定
- 近隣格子間で物質が移動
- 物質境界、自由表面、履歴が扱いにくい
- 気体・流体に対して適用
- 大変形に最適

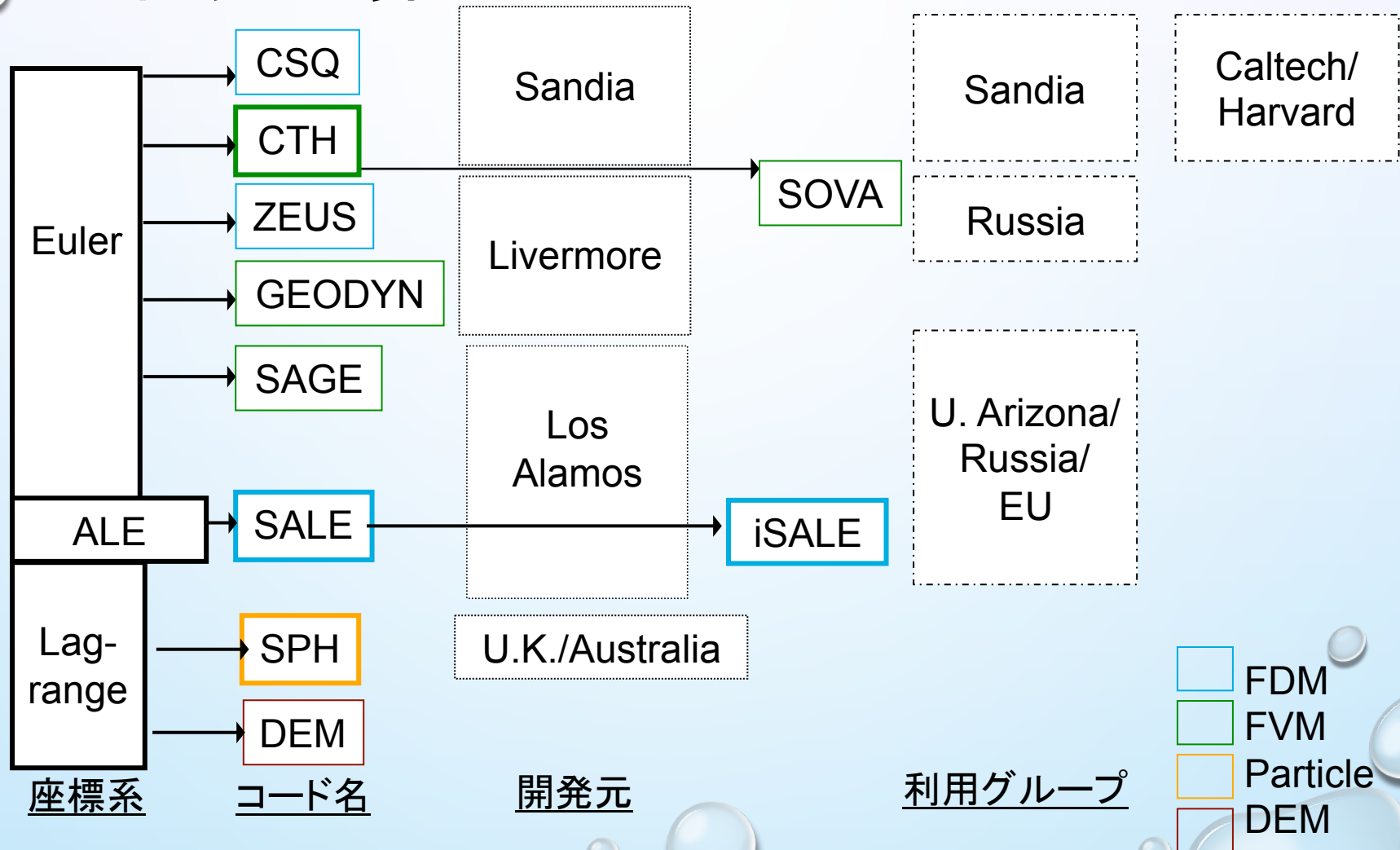
● ラグランジュ (LAGRANGE)法

- 物質とともに格子が移動・変形
- 物質境界、自由表面、履歴が扱いやすい
- 固体に適用性
- 格子法は大変形に不適
- 粒子法は大変形に対応

● 物体の運動を再現する：運動の表記法

- **ALE (ARBITRARY LAGRANGIAN-EULERIAN)法**
 - ラグランジュ法で物質の移動と別に格子を任意に移動
- **SPH (SMOOTHED PARTICLE HYDRODYNAMICS)法**
 - メッシュレス解法の一つ
 - 粒子：連続的な密度分布。
 - 大変形を伴う解析事例に適用
- **DEM**
 - メッシュレス解法の一つ、要素間の関係がバネ定数等で定義

衝突計算で用いられているコード



コード名	運動方程式	解法	応用例	開発元	引用文献
ZEUS	Eulerian	FDM	astronomy	Livermore→Illinois	Norman,2000
GEODYN	Eulerian	FVM	explosion	Livermore	Lomov et al., 2003
CSQ	Eulerian- Lagrangian	FDM	explosion	Sandia	Thompson,1979
CTH	Eulerian	FVM	explosion	Sandia	MacGlaun et al., 1990
SOVA	Eulerian	FVM	explosion	(Shuvalov, Russia)	Shuvalov,1999
SALE	Lagrangian/ Eulerian	FDM	any flow	Los Alamos	Amsden et al., 1980
SAGE	Eulerian	FVM ?	any	Los Alamos	Weaver & Gittings 2003
DEM	Lagrangian	DEM	Geomaterial	(Cundall)	Cundall, 1971
SPH	Lagrangian	PM	astronomy	(Lucy et al, U.K.)	Gingold & Monaghan 1977

- ・解適合格子法 (AMR)
- ・並列化・高速化

FDM 有限差分法
FVM 有限体積法
PM 粒子法
DEM 個別要素法

数値計算の進化とクレーター計算

圧縮段階

掘削段階

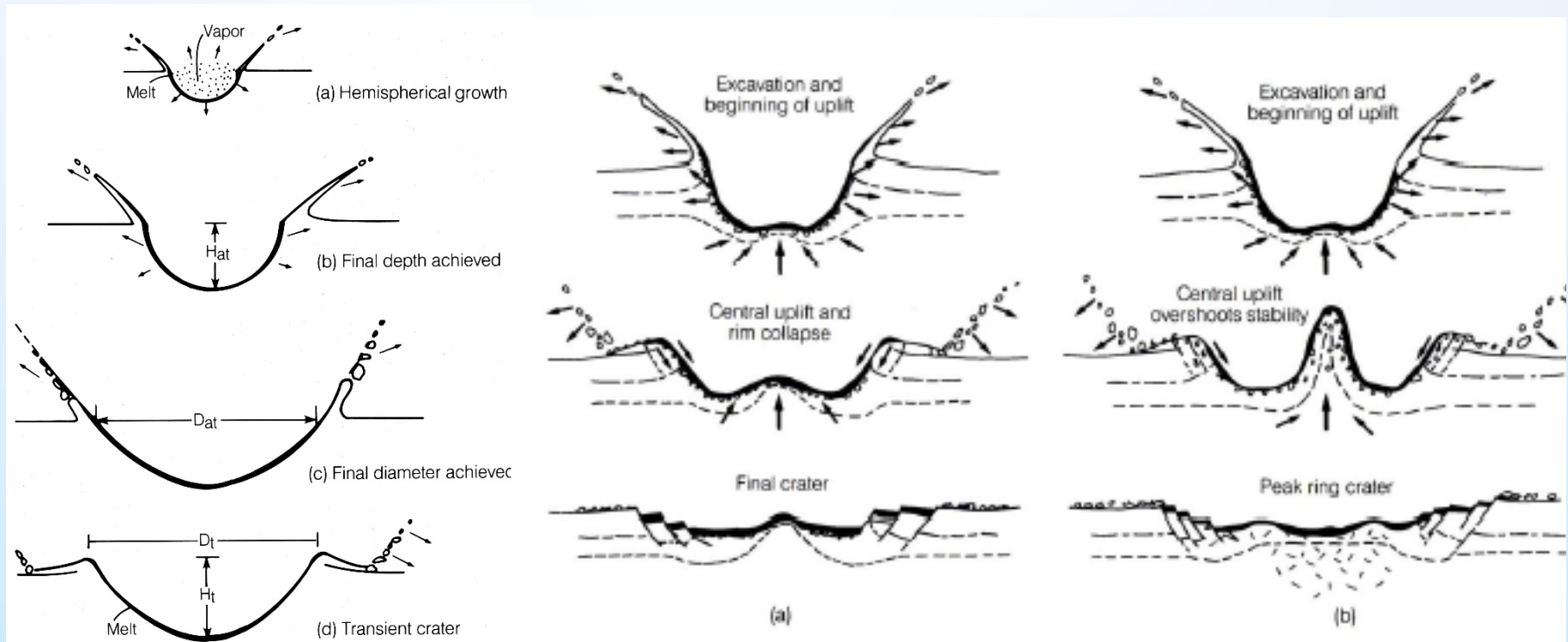
変形段階

緩和段階

—1980年代 状態方程式

1990年代—

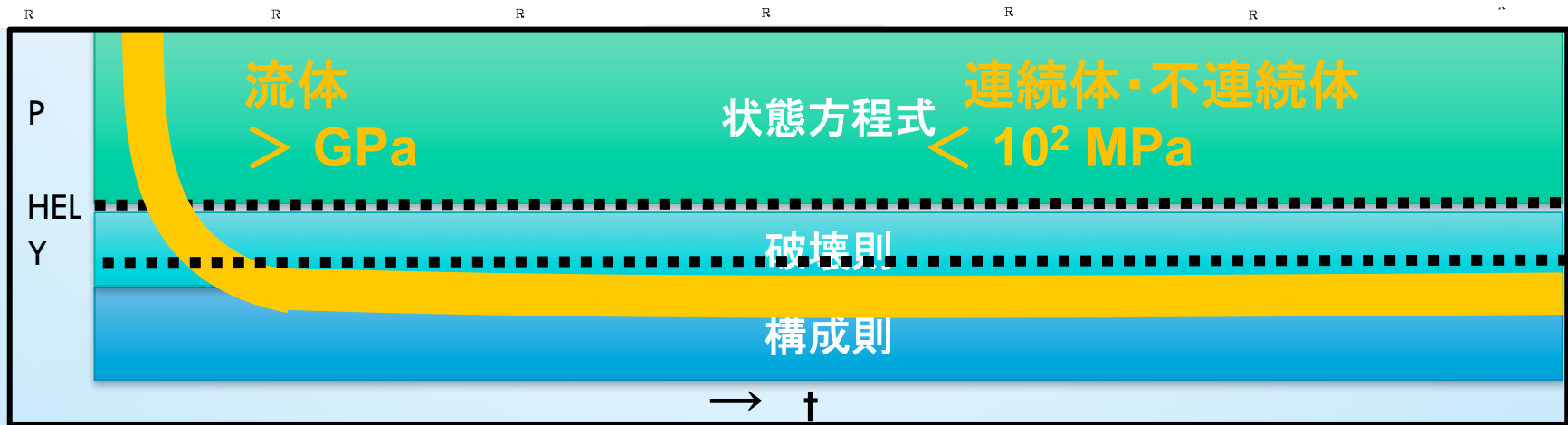
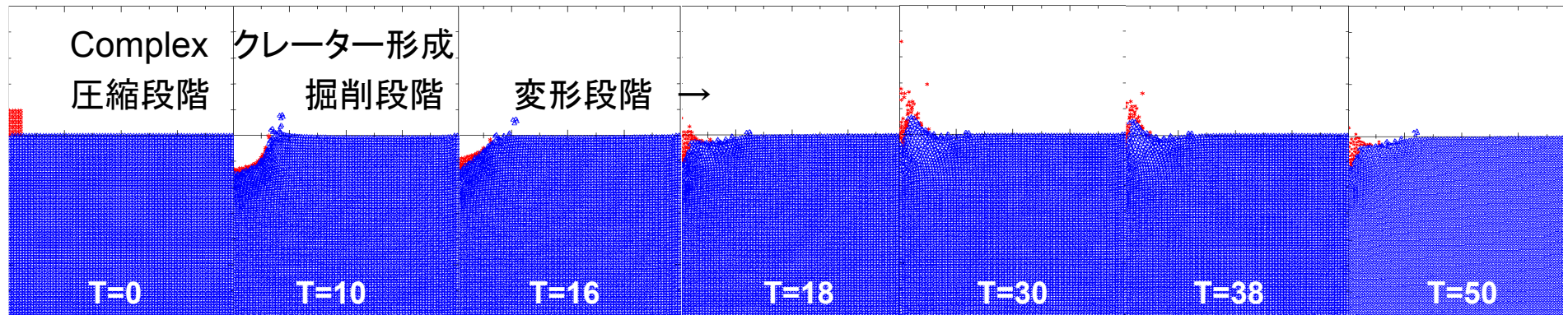
構成則・破壊則



Simple crater
transient crater

Complex crater (Melosh, 1989より)

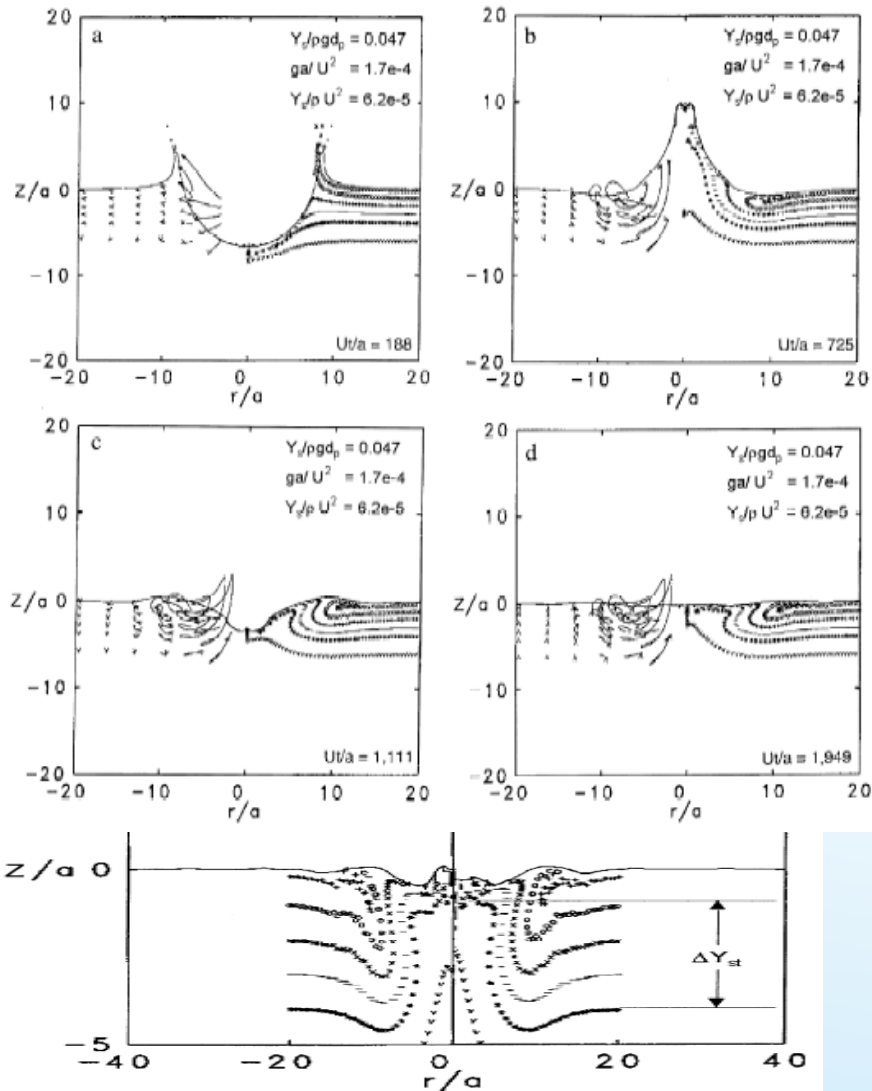
物質のモデル化



SPH 弾塑性
Von-Mises降伏条件

規格化パラメータ $Y_s/\rho v^2 = 5 \times 10^{-3}$ $gR/v^2 = 3 \times 10^{-2}$ $Y_s/\rho g d_p = 0.17R/d_p$

熱緩和 (THERMAL SOFTENING) モデル



ミゼス モールクーロン
中央丘 ピークリング

- O'KEEFE AND AHRENS, 1993, 1999
- CTH (EULERIAN-LAGRANGIAN)
- MIE-GRUNEISEN EOS
- (1993) VON MISES降伏条件モデル + 温度依存
 - → YE: 準強度 ~ 数MPa
- (1999) MOHR-COULOMB破壊基準モデル
 - 圧力 (静水圧)
 - + 温度 (衝撃加熱) + 密度 (塑性変形、間隙) 依存
 - → YE: 準強度 ~ 数MPa
- COMPLEX CRATER 形成条件: $Y/P GD_p < 0.15$
- クレーター底の上昇
- 中心振動は表層より上に到達
- 中心丘の崩壊で形成された表面波の伝播
- 強度と均衡地点に到達
- 中心部で地層は隆起
- その周囲で90度回転

断層 (FAULTING) モデル

- O' KEEFE AND AHRENS, 1999, 2003, O' KEEFE ET AL., 2001
- JOHNSON AND HOLMQUISTモデル
 - 強度に損傷(D) 導入 $Y=Y_0(P,T,P)(1-D)$

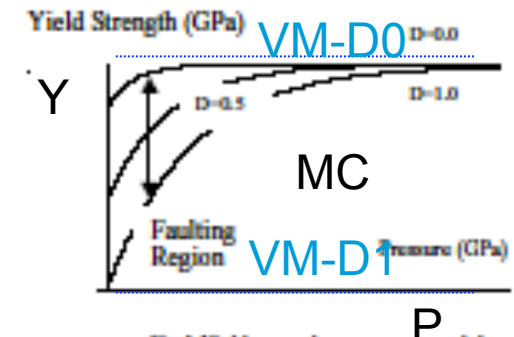


Fig. 1 Yield strength vs. pressure and damage

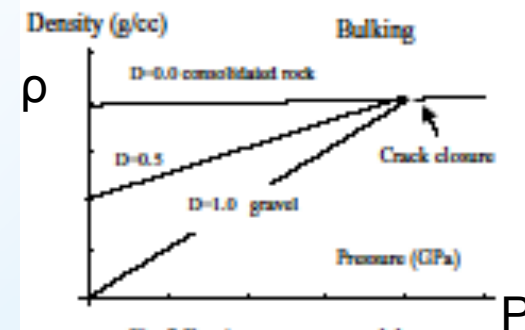
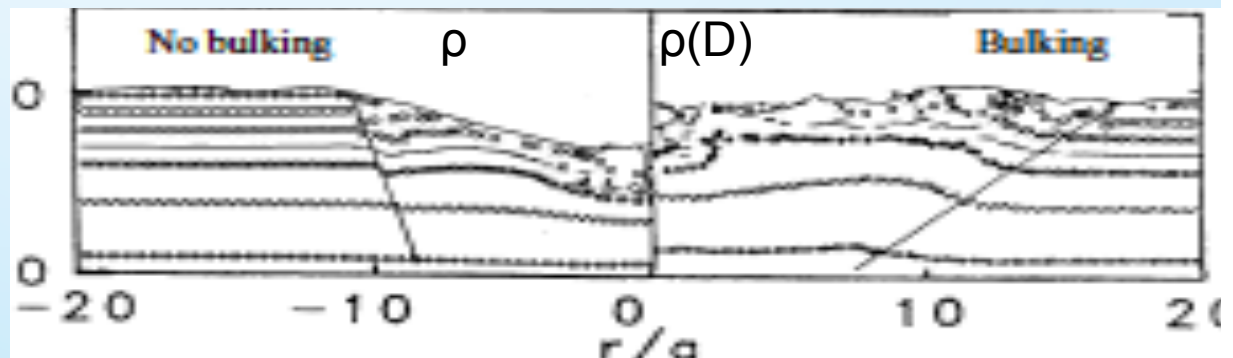


Fig. 2 Density vs. pressure and damage

- Dの変化率大の領域で断層形成
- ミゼス: $D=0 \rightarrow$ 流体化、地形形成不可
- モールクーロン: 中央丘形成
 - 中心付近の地形の上昇
 - 断層の角度の変化



数値計算上の留意点-1

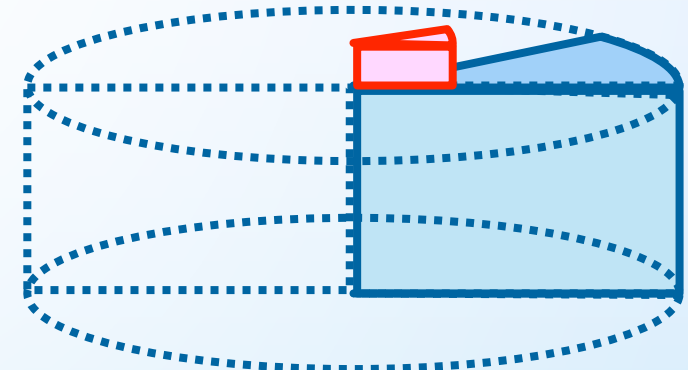
- 計算目的に適合したモデル化
 - 保存則のモデル化
 - 物理項
 - 物質のモデル化
 - 物質モデル
 - パラメータ設定
 - 実験との整合性
- 計算手法(ソルバー)

数値計算上の留意点-2

- 座標系

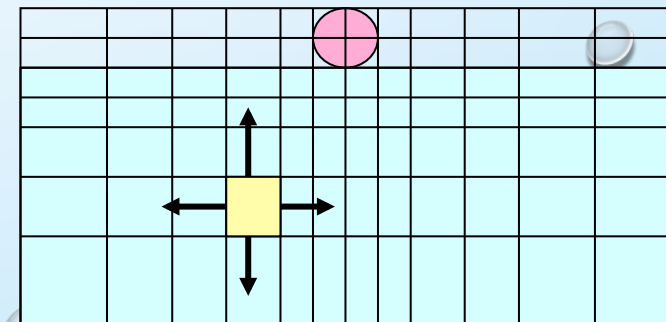
- 2次元軸対称 $XYZ \Leftrightarrow R\theta Z$

- 中心軸の扱い
 - 衝突現象では物理量の変化最大
 - $Z \rightarrow R$ の不自然な運動
 - $XYZ \Leftrightarrow R\theta Z$ (応力場・破壊表現?)
 - 軸周囲の精度確保
 - 結果の評価: 3D・実験と比較



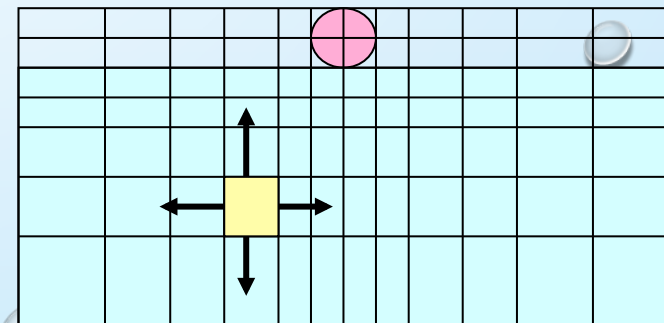
- 境界の取り扱い

- 自由境界
 - 周期境界
 - 影響が無視できる遠方に設定



数値計算上の留意点-3

- 計算精度とパフォーマンス
 - 計算機力(時間・メモリ・CPU)
 - 空間(メッシュ)
 - AMR(格子サイズ可変)
 - 時間(ΔT)
 - 人工粘性
 - 高速化計算スキーム・アルゴリズム
 - 計算範囲(時間・空間スケール)
 - 保存則と誤差
 - 3D
 - 惑星規模へ
- CGの誘惑



まとめ

- 衝突計算の今後
 - より長く、広く、複雑な現象の再現
 - 形態・層構造・T/P変化・物性・・・
 - 計算機能力の向上
 - 物質モデルの複雑化 → 本質は？
 - モデル・パラメータの広がり
 - 適応モデル・パラメータの妥当性
 - 実験データの重要性
 - 天体形成・表層進化・惑星規模へ